

Письма редактору

Влияние границ двойников на фазовое состояние
и динамику вихрей вблизи точки плавления
в монокристаллах $\text{YBa}_2\text{Cu}_3\text{O}_{7-\delta}$

А. В. Бондаренко, А. А. Продан, М. А. Оболенский

Харьковский национальный университет им. В. Н. Каразина, пл. Свободы, 4, г. Харьков, 61077, Украина
E-mail: Aleksandr.V.Bondarenko@univer.kharkov.ua

А. Г. Сиваков

Физико-технический институт низких температур им. Б. И. Веркина НАН Украины
пр. Ленина, 47, г. Харьков, 61103, Украина

Статья поступила в редакцию 15 мая 2001 г.

Обнаружено, что при температурах выше точки плавления вихревой решетки T_m и меньших температуры T_p , соответствующей началу пиннинга на границах двойников (ГД), вольт-амперные характеристики (ВАХ) линейны при малых значениях транспортного тока J , однако существенно нелинейны при больших J . Такое поведение ВАХ интерпретируется существованием в области температур $T_m < T < T_p$ запиннингованной вихревой решетки, которая образуется вблизи плоскостей ГД при $T < T_p$, и незапиннингованной вихревой жидкости вдали от плоскостей ГД.

Знайдено, що при температурах вище точки плавлення вихрової гратки T_m і менших температури T_p , яка відповідає початку пінінгу на межах двійників (МД), вольт-амперні характеристики (ВАХ) лінійні при малих значеннях транспортного струму J , однак суттєво не лінійні при великих J . Така поведінка ВАХ інтерпретується співіснуванням в області температур $T_m < T < T_p$ запінінгованої вихрової гратки, яка утворюється поблизу площин МД при $T < T_p$, і незапінінгованої вихрової рідини віддалі від площин МД.

PACS: 74.72.Bk, 74.60.Jg

Влияние беспорядка на фазовое состояние и пиннинг абрикосовых вихрей в высокотемпературных сверхпроводниках является предметом интенсивных теоретических и экспериментальных исследований. Считается, что в магнитных полях, меньших второго критического поля H_{c2} , существует вихревая жидкость, кристаллизация которой в присутствии слабого беспорядка осуществляется в виде фазового перехода первого рода при температуре $T_m(H)$ ниже линии $H_{c2}(T)$ [1]. В случае сильного точечного беспорядка [2] или плоских дефектов [3,4] фазовый переход первого рода подавлен, а линейное сопротивление ρ_l ($\rho_l \equiv dE/dJ$ при $J = 0$) становится меньшим сопротивления свободного течения потока ρ_{ff} при температурах $T > T_p > T_m$, где температура T_p соответствует началу пиннинга вихревой жидкости. Уменьшение ρ_l объясняется образованием

перепутанной вихревой жидкости, которая обладает торсионной жесткостью [3] и, как следствие, повышенной вязкостью [5], или образованием конечных пластических барьеров [4] для перепутанной жидкости, что приводит к экспоненциальному уменьшению ρ_l [6].

В настоящей работе представлены результаты исследования динамики магнитного потока вблизи температуры плавления вихревой решетки (ВР) в сдвойникованном монокристалле $\text{YBa}_2\text{Cu}_3\text{O}_{7-\delta}$. Предшествующие измерения этого образца при температурах $T < T_m$ показали [7], что критический ток монотонно уменьшается с ростом магнитного поля. Это свидетельствует о том, что содержание кислорода в образце близко к стехиометрическому, $\delta \leq 0,03$ [8], т.е. точечный беспорядок очень мал. Границы двойников (ГД) в измеряемой части кристалла имеют одно направ-

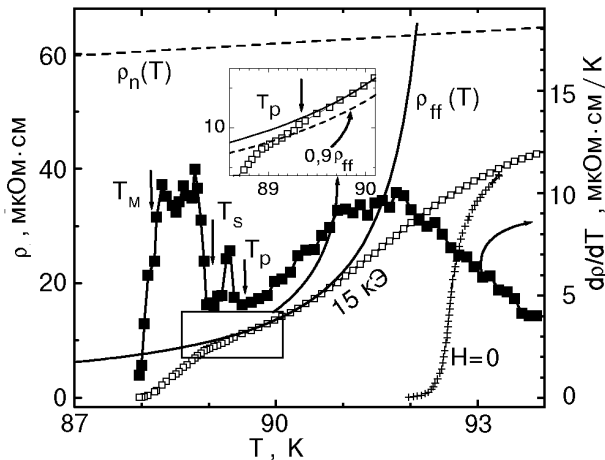


Рис. 1. Температурные зависимости сопротивления ρ при $H = 0$ и 15 кЭ и $d\rho/dT$ кривой $\rho(T)$, измеренной в поле 15 кЭ. Пунктиром показана экстраполяция линейного по температуре сопротивления в нормальном состоянии $\rho_n(T)$. Сплошная кривая представляет температурную зависимость сопротивления вязкому течению магнитного потока ρ_{ff} в модели Бардина–Стефена; T_p соответствует началу пиннинга вихрей на ГД.

ление, вектор тока \mathbf{J} лежит в ab -плоскости и ориентирован перпендикулярно плоскости ГД. Измерения проводили в магнитном поле $H = 15$ кЭ при ориентации поля $\mathbf{H} \parallel \mathbf{c} \parallel$ ГД. При таких условиях сила Лоренца $\mathbf{F} = \mathbf{J} \times \mathbf{B}$ параллельна плоскостям ГД.

Как видно на рис. 1, при температурах $T > 89,3$ К сопротивление ρ_l равно сопротивлению вязкого течения потока в модели Бардина–Стефена [9] $\rho_{ff}(T) = \rho_n(T)B/B_{c2}(T)$, которое получено, следуя процедуре, предложенной в работе [3], в предположении, что $B_{c2}(T) = (dB_{c2}/dT)(T - T_c)$, где $dB_{c2}/dT = -2,5$ Т/К, а величину $\rho_n(T)$ определяли путем экстраполяции линейного по температуре сопротивления в нормальном состоянии. Как видно на рис. 2, a , ВАХ, измеренные при $T > T_p$, линейны, что свидетельствует о незапиннигованном состоянии вихревой жидкости (ВЖ). При температурах $T \leq 87,9$ К сопротивление равно нулю, ВАХ нелинейны и зависимости $E(J)$, построенные в двойном логарифмическом масштабе, имеют отрицательную кривизну. Для экспоненциальной зависимости вида $E(J) \propto \exp[-(J_T/J)^\mu]$ положительная кривизна свидетельствует о положительном значении показателя степени μ , что является характерной чертой крипа ВР [10]. Кроме того, температура 87,9 К с точностью до 0,3 К совпадает с температурой плавления ВР в несдвойникованных кристаллах [1]. Поэтому $T_m \approx 87,9$ К мы связываем с температурой плавления ВР.

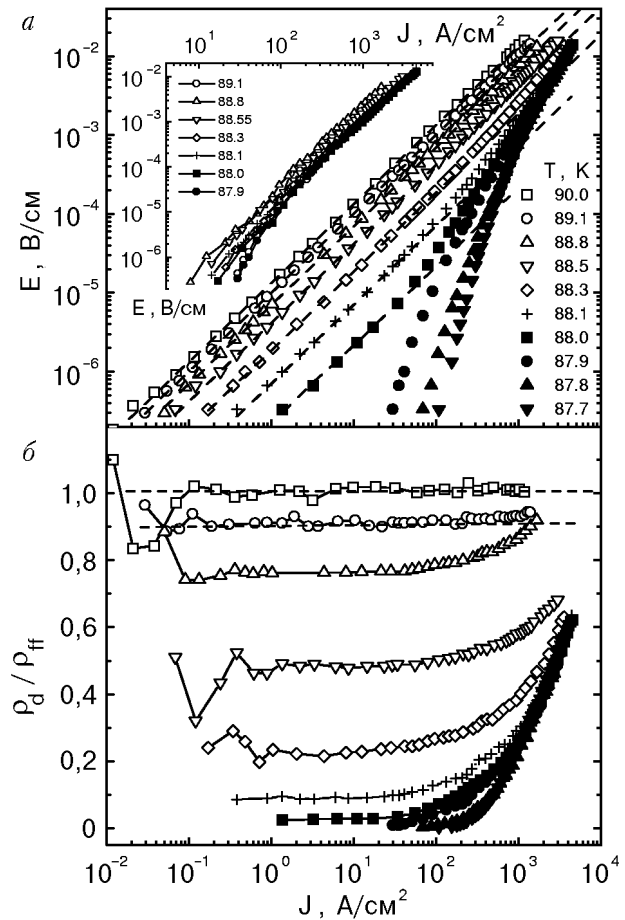


Рис. 2. ВАХ, измеренные в магнитном поле 15 кЭ, (a) и токовые зависимости дифференциального сопротивления $\rho_d = dE/dJ$, нормированные на ρ_{ff} , (b) (зависимости $E(J)$ представлены на рис. 2, a).

Таким образом, при $T > T_p$ существует незапиннигованная ВЖ, которая характеризуется линейным сопротивлением $\rho_l = \rho_{ff}$, а при $T < T_m$ существует запиннигованная ВР, крип которой определяется показателем степени $\mu > 0$. В интервале же температур $T_m < T < T_p$, как видно на рис. 2, ВАХ линейны при малых транспортных токах, но существенно нелинейны при больших. При этом линейное сопротивление меньше ρ_{ff} (см. рис. 2, b). Такое поведение ВАХ можно объяснить одновременным существованием запиннигованной ВР и незапиннигованной ВЖ. Обсудим эту возможность более подробно.

В несдвойниковых кристаллах амплитуда тепловых флуктуаций вихрей и однородна по объему кристалла, что в сочетании со слабым точечным пиннингом приводит к фазовому переходу первого рода при $T = T_m$ [1]. В сдвойниковых же кристаллах в области температур $T_m < T < T_p$ часть вихревых нитей $n_p \approx a_0/d$ (где a_0 — межвихревое, а d — междвойниковое расстояния) оказывается захваченной плоскостями

ГД, поскольку сверхпроводящий параметр порядка на ГД подавлен [11]. Амплитуда этих вихрей меньше, чем вихрей, погруженных в объем кристалла, из-за их двумерной природы [12]. Поскольку межвихревое взаимодействие эффективно на расстоянии глубины проникновения магнитного поля λ , то амплитуда u модулируется на расстоянии $x \approx \lambda$ от плоскости ГД. В рассматриваемой области температур величина $\lambda = 30\text{--}40$ нм сопоставима с $d \approx 50$ нм в исследуемом образце, так что можно ожидать модуляцию амплитуды на всех расстояниях x от плоскостей ГД: величина u непрерывно растет с увеличением x . Если при температурах $T < T_p$ среднеквадратичная амплитуда $\langle u \rangle$ вихрей, расположенных вблизи плоскости ГД, будет больше величины $c_L a_0$, где c_L — число Линдемана, то незапинникованная ВЖ будет сосуществовать с запинниковаными вихрями, локализованными на плоскостях ГД. В этом случае должно наблюдаться линейное сопротивление $\rho_l \approx (1 - n_p)\rho_{ff}$. В магнитном поле 15 кЭ величина $a_0 \approx 38$ нм, $n_p \approx 0,08$ и, следовательно, линейное сопротивление $\rho_l \approx 0,92\rho_{ff}$, что, как видно на рис. 1 и 2, б, согласуется с экспериментальными данными, полученными в области температур $88,9 \text{ K} < T < 89,3 \text{ K}$.

При дальнейшем понижении температуры до T_s , при которой амплитуда $\langle u(T_s) \rangle$ вихрей, расположенных вблизи плоскостей ГД, становится меньше величины $c_L a_0$, вихревая жидкость вблизи ГД будет кристаллизоваться. В этом случае линейное сопротивление должно уменьшаться с понижением температуры в меру уменьшения объемной доли ВЖ n_l , определяемой отношением $n_l = \rho_l / \rho_{ff}$. Полная кристаллизация должна происходить при температуре T_m , близкой к точке плавления ВР в несдвойникованных монокристаллах, поскольку амплитуда u вихрей, расположенных вдали от плоскостей ГД, слабо отличается от ее величины в раздвойниковых кристаллах. Этот сценарий согласуется с экспериментальными данными, представленными на рис. 1. Сопротивление ρ_l почти линейно уменьшается от значения $0,9 \rho_{ff}$ до нуля с уменьшением температуры от $88,9$ до $87,9$ К, которая с точностью до $0,3$ К совпадает с температурой плавления ВР в несдвойниковых кристаллах [1]. Поэтому температуру $T_s = 88,9$ К мы интерпретируем как начало, а температуру $T_m = 87,9$ К как конец кристаллизации вихревой жидкости.

Перейдем к рассмотрению нелинейных составляющих ВАХ, измеренных в области температур $T_m < T < T_p$. Вычитая из измеренных ВАХ линейные составляющие $E_l(J)$, показанные на

рис. 2, а пунктирными линиями, и нормируя разность на объемную долю запинникованной ВР, $n_p = (1 - \rho_l / \rho_{ff})$, мы получили зависимости $E_p = (E - E_l) / (1 - \rho_l / \rho_{ff})$ (см. вставку на рис. 2, а), которые соответствуют движению запинникованной ВР. Видно, что зависимости $E_p(J)$, представленные в двойном логарифмическом масштабе, имеют отрицательную кривизну, т.е. динамика запинникованной части магнитного потока аналогична динамике ВР при температурах $T < T_m$. Кроме того, зависимости $E_p(J)$ смещаются в область больших транспортных токов при уменьшении температуры, что коррелирует с поведением зависимостей $E(J)$ при температурах $T < T_m$. Эти закономерности являются экспериментальным подтверждением того, что нелинейные составляющие ВАХ, измеренных в области температур $T_m < T < T_p$, соответствуют движению запинникованной ВР.

Полученные в настоящей работе экспериментальные данные отличаются от ранее представленных в литературе: сопротивление ρ_l почти линейно уменьшается с температурой в интервале $T_m < T < T_p$, в то время как в работе [7] при аналогичных условиях эксперимента ($\mathbf{H} \parallel \mathbf{c}$, $\mathbf{J} \parallel ab$, $\mathbf{J} \perp \Gamma D$) сопротивление ρ_l уменьшалось экспоненциально. Это различие, вероятно, обусловлено разной концентрацией точечных дефектов в исследованных монокристаллах. Действительно, в присутствии слабого точечного пиннинга сопротивление ρ_l резко уменьшается от ρ_{ff} до нуля вблизи T_m , в то время как введение точечных дефектов приводит к пиннингу ВЖ и сопротивление ρ_l экспоненциально уменьшается с температурой, $\rho_l \propto \exp(-U_{pl}/T)$, в интервале $T_m < T < T_p$ [2]. При этом энергия активации U_{pl} уменьшается с ростом магнитного поля, $U_{pl} \propto H^{0,7}$, что является характерной чертой пластического движения перепутанной ВЖ [6]. Таким образом, переплетение вихревых нитей при температурах $T > T_m$ реализуется при наличии достаточно сильного хаотичного пиннинга, а характерной чертой этой вихревой фазы является экспоненциальное уменьшение ρ_l . Поэтому экспоненциальное уменьшение ρ_l , наблюдавшееся в работе [7], вероятно, вызвано достаточно большой концентрацией кислородных вакансий, которые считаются основным источником точечных центров пиннинга в монокристаллах YBCO. В исследованном же нами образце концентрация кислородных вакансий мала, $\delta \leq 0,03$. Поэтому формирование «перепутанной» вихревой жидкости представляется маловероятным, что подтверж-

дается линейным, а не экспоненциальным уменьшением $\rho_f(T)$ в наших измерениях.

В заключение отметим, что полученные в настоящей работе экспериментальные результаты свидетельствуют о существовании запиннингованной и незапиннингованной вихревых фаз в области температур $T_m < T < T_p$. Показано, что динамика запиннингованной фазы аналогична динамике вихревой решетки при температурах меньших T_m . Поэтому сделан вывод о начале формирования фазы вихревой решетки при температурах меньших температуры начала пиннинга на плоскостях ГД, которая заполняет весь объем кристалла по мере понижения температуры до T_m .

1. H. Safar, P. L. Gammel, D. A. Huse, D. J. Bishop, J. P. Rice, and D. M. Ginzberg, *Phys. Rev. Lett.* **69**, 824 (1992); W. K. Kwok, S. Flesher, U. Welp, V. M. Vinokur, J. Downey, G. W. Grabtree, and M. M. Miller, *ibid.* **69**, 3370 (1992); M. Charalambous, J. Chaussi, P. Lijay, and V. M. Vinokur, *ibid.* **71**, 436 (1993); W. K. Kwok, J. Fendrich, S. Flesher, U. Welp, J. Downey, and G. W. Grabtree, *ibid.* **72**, 1092 (1994).
2. J. A. Fendrich, W. K. Kwok, J. Giapintzakis, C. J. van der Beek, V. M. Vinokur, S. Flesher, U. Welp, H. K. Viswanathan, and G. M. Grabtree, *Phys. Rev. Lett.* **74**, 1210 (1995).
3. S. Flesher, W. K. Kwok, U. Welp, V. M. Vinokur, M. K. Smith, J. Downey, and G. M. Grabtree, *Phys. Rev.* **B47**, 14488 (1993).
4. T. K. Worthington, F. H. Holtzberg, and C. A. Feild, *Cryogenics* **30**, 417 (1990).
5. M. C. Marchetti and D. R. Nelson, *Phys. Rev.* **B42**, 9938 (1990).
6. V. M. Vinokur, M. V. Feigel'man, V. B. Geshkenbein, and A. I. Larkin, *Phys. Rev. Lett.* **65**, 259 (1990).

7. A. B. Бондаренко, А. А. Продан, М. А. Оболенский, Р. В. Вовк, Т. Р. Ароури, *ФНТ* **27**, 463 (2001).
8. A. A. Zhukov, H. Kupfer, G. Perkins, L. F. Kohen, A. D. Caplin, S. A. Klestov, H. Klaus, V. I. Voronkova, T. Wolf, and H. Wuhl, *Phys. Rev.* **B51**, 12704 (1995).
9. J. Bardeen and M. J. Stephen, *Phys. Rev.* **A140**, 1197 (1965).
10. D. S. Fisher, M. P. A. Fisher, and D. A. Huse, *Phys. Rev.* **B43**, 130 (1991); K. H. Fischer and T. Nattermann, *ibid.* **43**, 130 (1991); T. Giamarchi and P. Le Doussal, *ibid.* **55**, 6577 (1997); G. Blatter, M. V. Feigel'man, V. B. Geshkenbein, A. I. Larkin, and V. M. Vinokur, *Rev. Mod. Phys.* **66**, 1125 (1994).
11. G. J. Dolan, G. V. Chandrashekhar, T. R. Dinger, C. Feild, and F. Holtzberg, *Phys. Rev. Lett.* **62**, 827 (1989).
12. G. Blatter, J. Rhyner, V. M. Vinokur, *Phys. Rev.* **B43**, 7826 (1991).

The influence of twin boundaries on phase state and vortex dynamics in the vicinity of melting point in $\text{YBa}_2\text{Cu}_3\text{O}_{7-\delta}$ single crystals

A. V. Bondarenko, A. A. Prodan,
M. A. Obolenskii, and A. G. Sivakov

It is found that at temperatures above the melting point of the vortex lattice, T_m , and below the temperature T_p , which corresponds to the onset of pinning by twin boundaries (TB), the current-voltage characteristics (CVC) are linear at low transport currents J , but they are strongly nonlinear for high values of J . Such a behavior of the CVC data is explained by the coexistence of a pinned vortex lattice, which is formed near the planes of TB, and of a non-pinned vortex liquid far away from the planes of TB in the temperature range $T_m < T < T_p$.